- 1 東シナ海中西部トロール漁場付近における海底堆積物の特徴
- 2 ランニングタイトル:トロール漁場付近の海底堆積物
- 3 杉野亮介 ^{1※},新優里花 ²,丸山裕豊 ³,保科草太 ³,合澤格 ³,竹内清治 ⁴,谷山茂人 ⁴,八木光晴 ⁴,
- 4 清水健一4
- 5 ^{1*}国立研究開発法人水産研究·教育機構 水産大学校, ² 長崎大学大学院水産·環境科学総合研究
- 6 科,3長崎大学水産学部,4長崎大学大学院総合生産科学研究科
- 7 Characteristics of sea floor sediments around trawl fishing grounds in the East China Sea
- 8 1**Ryosuke SUGINO, ²Yuurika SHIN, ³Yutaka MARUYAMA, ³Sota HOSHINA, ³Itaru AIZAWA, ⁴Seiji
- 9 TAKEUCHI, ⁴Shigeto TANIYAMA, ⁴Mitsuharu YAGI, ⁴Kenichi SHIMIZU
- ¹National Fisheries University, Fisheries Research and Education Agency, Shimonoseki, Yamaguchi
- 11 759-6595, ²Institute of Fisheries and Environmental Science and Technology, Nagasaki, Nagasaki
- 12 852-8521, ³Faculty of Fisheries, Nagasaki, Nagasaki 852-8521, ⁴Institute of Integrated Science and
- 13 Technology, Nagasaki, Nagasaki 852-8521
- * Tel: 81-83-286-5111. Fax: 81-83-286-2292. Email: r-sugino@fish-u.ac.jp

17	市シナ海山西郊	、ロール漁場付近におけ	ス海広堆積版の駐徴
1/	果ング海中四部	・ロール偲場小刀にねり	の世氏性相物の特徴

- 18 杉野亮介 1%, 新優里花 2, 丸山裕豊 3, 保科草太 3, 合澤格 3, 竹内清治 4, 谷山茂人 4, 八木光晴 4,
- 19 清水健一4
- 20 1**水產機構水大校,2長大院水環,3長大水,4長大院生產

22 (和文要旨)

- 23 東シナ海中西部のトロール漁場における海底堆積物の粒度組成や有機物含有量を明らかにする
- 24 ため、計 29 回のトロール操業時にスミス・マッキンタイヤ型採泥器で海底堆積物を採取した。
- 25 試料はレーザー回折式粒度分布測定装置にて粒度分析するとともに、十分に乾燥させた後 2
- 26 mol/L の塩酸で滴定し、CaCO3含有割合を求めた。さらに、乾燥試料 2gを 550℃ 4時間で強熱し、
- 27 前後の重量差から有機物の含有割合を求めた。その結果、粒径 62.5 μ m 未満の泥の割合は漁場
- 28 の東西両端で少なく,中央付近で多い傾向であった。また、有機物量と泥の割合にやや強い正の
- 29 相関がみられた。

30

31 キーワード: 東シナ海,トロール漁場, 海底堆積物,粒度組成, 有機物含有量, CaCO3 含有量

Abstract

33

In this study, we aimed to clarify the characteristics of sea floor sediments around trawl 34 fishing grounds in the East China Sea, marine sediments were collected by using a Smith-35 McIntyre grab sampler total 29 times trawl operations. The sample were analyzed for 36 particle size using a laser diffraction particle size analyzer. The amount of calcium 37 carbonate in the dried 1g sediments was calculated by titration with hydrochloric acid at 38 a concentration of 2 mol/L. Also, the amount of organic matter was determined by the 39 ignition loss method, where 2 g of the dried sample was ignited at 550 °C for 4 hours, 40 and the content ratio relative to the dried sample was calculated from the weight 41 difference before and after ignition. Each sample was measured three times and the 42 average value was calculated. As the result, the grain size distribution was such that the 43 proportion of sand was higher at the eastern and western ends of the fishing ground, and 44 the proportion of particle size under 62.5µm mud was higher near the center. A slightly 45 positive correlation was found between the amount of organic matter and the proportion 46 of mud. 47

48

49

Keywords East China Sea, Trawl fishing ground, Seafloor sediment, particle components, Organic content

50 CaCO₃ content

- 52 東シナ海は、太平洋北西部の縁海の1つであり、周囲を日本、中国、及び韓国などの漁業
- 53 国に取り囲まれ、多様な漁業に利用される大陸棚の発達した海域である。また、大陸河川に
- 54 よって供給される豊かな栄養塩を基礎として、黒潮系水と大陸沿岸系水との顕著な潮目の
- 55 形成も加わり、生物多様性に富んだ生産性の高い海域でもある(1-3)。
- 56 東シナ海では 20 世紀初頭から以西底びき網漁業と呼ばれる漁業が行われており、ピー
- 57 ク時には1950年代後半から1960年代前半に36万トンを記録し、当時は重要な漁業の一つ
- 58 であった。しかし、その後、中国、韓国の底引き網漁業の発達による漁獲競合、継続的な強
- 59 い漁獲圧、輸入魚、操業の増加などにより、資源量の減少や諸外国との競争力の低下を招き、
- 60 以西底びき網漁業の衰退が続いている(4-5)。また、堀川(1999、2001)は、強い漁獲圧によって
- 61 生物学的・生態学的特性に様々な変化が認められるようになり、多くの魚種で、資源状況の
- 62 悪化だけではなく、分布域の縮小、漁獲物の小型化、成熟に達する体サイズの小型化、早熟
- 63 化等を報告している(6-7)。しかし、以西底引き網漁は現在でも長崎県で8隻が操業を行い、
- 64 キダイやアカムツを中心として年間約3000トンを漁獲しており、東シナ海における日本の
- 65 主力漁業の一つである(8-9)。このような底曳網漁業での漁獲対象魚種も含めて水域に生息す
- 66 る底息生物にとって、海底堆積物は、流れ、水質、海底地形等と並んで重要な環境指標とな
- 67 る。特に海底の底質分布を調べることは漁場の環境特性指標や漁礁設計上の項目として重
- 68 要であり、水産生物の生息環境を理解するためには、海底堆積物に関する調査と解析が必要

- 69 であるとされている(8)。また、石渡 (2003) は、海底堆積物には海水中のプランクトンをは
- 70 じめとする海洋生物由来の有機物(自生性有機物)と陸上から運ばれた有機物(外来性有機
- 71 物)が混入し、大陸棚で堆積物中の有機物の含量が多いのは、湧昇域のために栄養塩に富ん
- 72 だ深層水が表層から運ばれるために生物生産が高いことに起因するとしている(9)。このよう
- 73 に、生物にとっては粒度以外の含有有機物量も重要だと考えられる。しかし、東シナ海にお
- 74 ける海底堆積物の調査は約40年前に浜田らによって若干の報告があるものの(10-11)、十分で
- 75 はない。
- 76 そこで本研究では東シナ海の中西部において海底堆積物を採取し、粒度組成のほか、堆積
- 77 物中の CaCO3 量、有機物量に着目して海底堆積物の分布特性を明らかにすることを目的と
- 78 した。

80 材料と方法

海底堆積物採取地点

- 82 海底堆積物の採取は長崎大学水産学部附属練習船長崎丸において、2020年8月14日~
- 83 2023 年 9 月 22 日にかけてトロール操業を実施した計 29 地点で実施した。それぞれの実施
- 84 地点は Fig.1 及び Table 1 に示す通りであり、本研究では西側から順に St.1~St.29 とした。
- 85 (水深 130~157 m)

Fig.1
Table1

86

87

81

海底堆積物の採取と粒度分析

- 88 海底堆積物の採取にはスミス・マッキンタイヤ型採泥器(採泥面積: 22 cm×22 cm)を使
- 89 用した。採取後の堆積物はマイナス 40 度で冷凍保管し、分析の際に室温で自然解凍した。
- 90 粒度分析の際には測定装置の目詰まりを防ぐため、あらかじめ 2 mm メッシュの篩に通し大
- 91 きな破片を除去した。その後、レーザー回折式粒度分布測定装置(SALD-3100、島津製作所
- 92 整. 測定範囲: 0.5~3000 μm) にて粒度分析を行い、付属の解析ソフト (WingSALD-3100
- 93 Wing-2) で最大・最小粒子径、平均値、積算質量の 50 %値に相当する d50(mm)値を算出し
- 94 た。さらにその結果を Table 2 で示した海図記載の底質記号に基づいて分類した(12)。また、
- 95 この粒度分布をもとに、次に示す通り中央粒径値 MD φ を求めた。MD φ とは前述した
- 96 d_{50} (mm)をもとに「2のべき乗」として対数換算したものである。MD ϕ の目安として、粘度

97 -シルト、シルト-砂、砂-礫の粒度区分の境界値 0.005 mm、0.075 mm、2 mm について対応す
 98 る MDφ値はそれぞれ 7.64、3.74、-1 となる(13-14)。 MDφは値が大きいほど、粒径が小さい
 99 ことを示している。本研究では、Table 2 で示した Slit と Clay (粒径 62.5μm より小さいも
 100 の)を「泥」、それよりも大きな粒径のものを「砂」と定義した。また、礫を除く堆積物全

体の体積のうち、泥の占める割合を「泥の含有割合」と定義した。

Table2

102

103

101

海底堆積物中の CaCO3 含有割合

海底堆積物中の CaCO3 含有割合測定にあたっては、塩酸を使用した滴定により求めるこ 104 ととし、冷凍保管したサンプルをあらかじめ室温で自然解凍しておき、底質調査方法(15) 105 を基に、110 ℃で24時間以上十分に乾燥させてから使用した。その後、確実に反応が行わ 106 107 れるよう、乳鉢と乳棒を用いて貝殻片とともに乾燥試料を粉砕した。粉砕後、試料約1g を量り取り、ビーカーに加えた。その後、精製水 50 mL をビーカーに加え、2 mol/L の塩 108 酸で滴加した。滴定中は、適宜ガラス棒でビーカー内をかき混ぜ、堆積物から二酸化炭素 109 の気泡が見えなくなったことを反応の終点とした。最終的に加えた塩酸の量から以下の反 110 応式を用いて堆積物中の CaCO3 含有割合を算出した。 111

CaCO₃+2HCL→CaCl₂+H₂O+CO₂↑

上記の操作を1サンプルあたり3回ずつ行い、その3回の平均値を海底堆積物中のCaCO3 113 含有量とし、滴定前後の重量から以下の式により海底堆積物中の CaCO3 含有割合を求めた。 114

115

$$CaCO_3$$
 含有割合(%) = $\frac{ ar{ar{C}} ar{C} ar$

117

118

124

125

126

127

128

海底堆積物中の有機物含有割合

119 海底堆積物中の有機物含有割合測定については C/N 比を求めることも多いが、そのため には特殊な測定装置が必要となるため、本研究ではより簡易的な手法である、強熱減量法 120 (15)により計測することとした。強熱減量は、堆積物中に含まれる有機物含有量を表す最も 121 簡便な方法である。これは、るつぼに入れた乾燥粉末試料を電気炉の中で強熱し、重量の 122 損失分をすべて有機物の灰化分とみなすものである。 123

海底堆積物中の有機物含有割合測定にあたっては、冷凍保管したサンプルをあらかじめ 室温で自然解凍しておき、解凍した堆積物試料を110℃で24時間以上十分に乾燥させたも のを使用した。その後、乳鉢と乳棒を用いて乾燥試料を粉砕した。これは、有機物が多い と試料外部から加えた熱の燃焼により灰分の間に空気層を残し、熱伝導を悪くして中心部 の酸化が進まなくなること(16)を防ぐためである。本研究では粉砕後、試料約2gを磁器製 のるつぼにいれ 0.0001 g の桁まではかり取り、電気炉を用いて 550℃、4 時間の強熱を行 129

130	った。その後電気炉内でそのまま 10 時間以上放冷して温度が下がったのち、デシケータ
131	ーに入れ、重量を 0.0001 g の桁まで測定した。 1 サンプルあたり 3 回ずつ行い上記の通り
132	計測した強熱減量前後の重量差を求め、この平均値を海底堆積物中の有機物含有量とし

133

$$f$$
機物含有割合(%) $=$ 強熱前の試料重量(g) $-$ 強熱後の試料重量(g) \times 100 強熱前の試料重量(g)

て、以下の式により海底堆積物中の有機物含有割合を求めた。

136

137 なお、測定で用いるるつぼについては、すべて残存有機物の影響がないようにあらかじめ十 138 分に洗浄したものを、有機物が全て灰化される温度⁽¹⁷⁾となるまで電気炉により 600℃で 3 時 139 間熱し、電気炉内で 10 時間以上放冷したのち、デシケーターに入れて保管したものを使用 140 した。

141

142

144 結果

海底堆積物の粒度分析結果

- 146 地点ごとの海底堆積物の粒径ごとの割合について全体を100%とした分布をFig.2に示す。
- 147 図は海図記載の底質記号ごとに色分けして示しているが、全体的には操業地点の西側付近
- 148 で砂の割合が多く、中間地点になるにつれて泥の割合が多くなり、さらに東側の地点に移る
- 149 にしたがってまた砂の割合が多くなるという傾向であった。詳細に見てみると、St.1 と St.23
- 150 では砂のみであり、特に St.1 では $cS(粗粒砂:500~2000~\mu m)$ が最も多くなっていた。また、
- 151 St.7、St.11、St.14 では泥の割合が50%以上であった。さらにSt.11とSt.14ではM(泥:
- 152 2~62.5 μm)、St.3 では fS(微粒砂: 62.5~250 μm)、St.5、St.6、St.8、St.22、St.23、St.24、
- 153 St.28、 および St.29 では mS(中粒砂: 250~500 μm)が卓越していた。

Fig.2

- 154 これらの分布について、泥の含有割合の水平的な分布図として示したものを Fig.3 に示す。
- 155 この図を見ると、先ほど Fig.2 で述べた通り、図の赤枠で示した場所付近において泥の含有
- 156 割合が高い箇所が多くなっていたことがわかる。

Fig.3

157

158

海底堆積物中の CaCO3 含有割合

- 159 CaCO₃ 含有割合は St.20 で最大値 90.3%、St.1 で最小値 37.2%であった。地点ごとの海底
- 160 堆積物中の CaCO3 含有割合について、平均±標準偏差として Fig.4 に示した。ただし、St.26

161	については、乾燥試料が 1g 得られず、それより少ない試料での結果となっている。Fig.4 よ
162	り St.9、 St.19、 St.20 など全操業地点の中間から東側にかけて CaCO3 含有割合が多くなっ
163	ていた。一方、St.1、 St.5、 St.6、 St.10、 St.11、 St.12 および St.26 では CaCO ₃ 含有割合
164	は 50 %以下であった。
165	続いて Fig.5 に CaCO3 含有割合の水平的な分布図として示した。図から全体的には中間か
166	ら東側にかけて炭酸カルシウム含有割合が多くなっていた一方、図の赤枠で示した場所で
167	北端 (St.20) から南南西方向に含有割合の小さな領域が延びていた。

海底堆積物中の有機物含有割合

168

169

170有機物含有割合は St.4 で最大値 4.4%、St.13 で最小値 2.0%であった。地点ごとの海底堆171積物中の有機物含有割合を Fig.6 に示した。図から有機物含有割合は地点ごとにばらつきが172みられ、St.1、St.2、St.5、St.8、St.11、St.13、St.20、St.22 および St.24 では 3%以下173と少なくなっていた。

174 これらの分布について、先ほどと同様に水平的な分布を Fig.7 に示した。図から全体的に
 175 は南北両端よりも中間の緯度で有機物含有割合が多い地点が多くなっていたが、中間の緯
 176 度においても有機物含有割合の少ない地点が散見され、CaCO3 含有割合と比較すると分布
 177 に偏りが見られた。

186

 178
 CaCO3 含有割合と有機物含有割合との相関関係について Fig.8 に示す。図から、有機物の

 179
 含有割合と CaCO3 含有割合の間に関係性はみられなかった。(r= 0.13)

 180
 181
 海底堆積物中の泥の含有割合と CaCO3 含有割合及び有機物含有割合との関係

 182
 海底堆積物中の泥の含有割合と CaCO3 含有割合との関係、及び泥の含有割合と有機物含

 183
 有割合との関係について、それぞれ Fig.9、Fig.10 に示す。Fig.9 から、泥の含有割合と CaCO3

 184
 含有割合との間には関係性はみられなかった(r= 0.13)ものの、Fig.10 からは泥の含有割合と

Fig.9 Fig.10

有機物含有割合の間にはやや強い正の相関がみられた(r=0.35)。

203

187 考察

粒度分析結果による底質の性状分布

過去、東シナ海・黄海において広範囲に調査された底質性状分布(11,18)によると、今回の 189 190 調査地点付近では sand(砂)あるいは muddy sand(泥質砂)、mud(泥)とされている。本研究で の粒度分析結果は概ねこの報告と一致しており、前回の調査から数十年が経過している 191 が、海底堆積物の分布の傾向に大きな変化はないと考えられる。これについて今回の調査 192 193 地点付近での堆積速度は1年間当たり0.02 cm との報告(19)がある。この値は内湾での報告 (20) (0.08~0.34 cm/year) と比較するとかなり小さく、それゆえ前回の調査から 40 年が経過 194 しても底質の粒度分布にはほとんど変化がなかったものと考えられる。 195 一方、本研究の結果では Fig.2、Fig.3 より、西側付近で砂の割合が多く、中間の地点にな 196 るにつれて泥の割合が多くなり、さらに東側の地点に移るにしたがってまた砂の割合が多 197 くなるという組成となっていた。過去の報告も加味すると、東側にいくにつれて粒径が砂質 198 状になると考えられる。一般に底質は直上水の流動の影響を受けて堆積し、流動の大きい所 199 では礫や砂が、緩やかなところではシルトや粘土質の底質が堆積することが知られている 200 (11)。また、東シナ海は黄河や長江といった大きな河川が流入しており、陸棚外縁に沿って西 201 202 岸境界流である黒潮が流れており、東シナ海に供給された堆積物粒子は海域の海水の動き に伴って移動し、堆積するとされる(1,21)。過去の報告でも東シナ海では陸岸に近い底質は砂

204 質に富み、陸岸から遠ざかるにつれて含泥率が増加し、さらにその距離が増せば泥質部が急 205 激に減少し、砂質になる⁽²²⁾とされ、これらの報告はいずれも本研究の結果を支持するもの 206 と考えられる。

207

208

塩酸滴定による海底堆積物中の CaCO3 含有割合

本研究において海底堆積物中の CaCO3 含有割合は最小値 37.2%から、最大値 90.3%の範 209 210 囲であった。一般に、海洋中に分布する炭酸塩のほぼすべては、海洋生物によって生成され、 海洋において CaCO₃ の生産が最も多い生物は海面を浮遊する円石藻や有孔虫などのプラン 211 クトンである⁽²³⁾。また、海底の堆積物に含まれる CaCO₃ の主な起源は海面を浮遊するプラ 212 ンクトンの遺骸が沈着したものであり、海底に堆積する CaCO3 の量は海域の生物生産量や 213 海底地形によって異なる(24)。さらに、CaCO3含有量は炭素循環を示す指標のひとつとされ、 214 伊勢湾では30%程度⁽²⁵⁾、男女群島周辺では41.3%から76.8%の報告⁽²⁶⁾ がある。東シナ海に 215 おいてはこれまで堆積物中の CaCO3 含有量についてはほとんど報告が無いものの、外洋の 216 217 男女群島周辺で内湾の伊勢湾より高い値を示していることから、本研究の結果は外洋で 218 CaCO₃含有量が高くなる傾向を支持する。

219 一方、CaCO3含有割合だけでなく、全有機炭素量や全窒素量、海底の岩盤類や化石類など、

220 他の成分も併せてみることで、漁場形成のメカニズムを見出す可能性がある。実際に、山東

221 半島東方の黄海北部トロール漁業ではマダラやケムシカジカが多く漁獲されるが、同時に 222 漁網には大型カキ殻が多く入っているという報告(II)がある。この報告では漁場周辺の魚探 223 映像にある広さにカキ殻化石が確認されたことや、黄海北部に堆積するこのような大型の 224 カキ殻化石は海底地形が単調な黄海において一種の魚礁的な役割を果たしている可能性が 225 報告されている。したがって今後は東シナ海のより広い範囲で同様の調査を行い、外洋の 226 CaCO3含有割合の分布の傾向を明らかにしていく必要がある。

227

228

強熱減量による海底堆積物中の有機物含有割合

本研究において堆積物中の有機物含有割合は最小値2.0%から最大値4.4%の範囲であっ 229 た。これに対して、横山、石樋(2009)は沿岸(内湾)の有明海や伊勢湾では強熱減量が 230 10%以上の地点もあると報告している(27)。一方で、谷村ら(2016)では、沿岸から離れた地 231 点では強熱減量は少なくなる傾向があり、伊勢湾南部では2%という報告(25)もある。泥質 232 堆積物中に有機物が多い理由として、佐野(1976)は、沿岸部では河川からの陸上植物の残 233 渣、外洋性大陸棚上はプランクトンの遺骸が多いため⁽²⁸⁾としている。さらに佐野(1976) 234 235 は、砂質浅海域では多毛類や端脚類など砂中の微小な底生生物が有機炭素含有量に関係し て分布することも報告している(29)。このように沿岸域の有機物は河川や陸域からの流入物 236 に起因し、高い値となっている可能性が考えられている(25,27)。一方、本研究では有機物含 237

238 有割合はこれまでの他の外洋域での報告と比較して多くの地点で高い値であった。東シナ 海は大陸棚の発達した生物多様性に富んだ海域で、大陸棚は湧昇域のために栄養塩に富ん 239 だ深層水が表層から運ばれるため(9)、値が高くなったことが考えられる。またこの点につ 240 241 いて、これまで外洋での海底堆積物中の有機物含有割合に関する報告は少なく、特に東シ ナ海での堆積物中の有機物含有割合についてはこれまでほとんど報告が無い。今後は東シ 242 ナ海のより広い範囲において同様の調査を行い、外洋の分布の傾向を明らかにしていく必 243 要がある。 244 また、本研究においては泥の含有割合と CaCO3 含有割合との間には明確な関係は見られ 245 なかったものの、有機物含有割合の間にはやや強い正の相関がみられた。有明海においては 246 泥成分の割合と強熱減量の間に関係があることが報告されており、本研究において外洋の 247 東シナ海においても泥の割合が大きくなるにつれて、堆積物中の有機物含有割合が増加す 248 る傾向になることは十分に考えられる(30)。一方で、本研究においては有機物含有割合と炭 249 酸カルシウム含有割合の間には明確な関係性は認められなかった。これについて石灰質硬 250 251 組織を形成するベントスが多いと両者の間に正の相関関係が認められると考えられるが、 そのようなベントスは高温や高塩分のほか、清浄な海水を好むといわれている(31)。今回採 252 253 泥した観測場所はいずれも水深が 130m 以上あり、現状では多くの試料を採取することは困 難で試料中のベントス量を計測することは難しいが今後、時間をかけて多くの試料を採取 254

255 することで両者の関係を明らかにしていくことは可能と考えられる。

256	まとめ
257	本研究では東シナ海の中西部のトロール操業において海底堆積物の分布特性を調べた。
258	その結果、粒度の分布は概ね 40 年前に調査された過去の報告と一致していたこと、CaCO3
259	含有割合については内湾や男女群島周辺での報告と比較して高い値であることが明らかと
260	なった。特に堆積物中の CaCO3 含有割合や有機物含有割合はこれまで東シナ海など沖合で
261	調べられている例は少なく、今後も継続した調査が必要と考えられる。
262	
263	

264	制辞 ····································
265	本研究を行うにあたり、多くの地点で海底堆積物のサンプル採取にご協力いただいた長崎
266	丸の乗組員一同に心から感謝申し上げます。
267	
268	

269 参考文献

- 270 1) 時村宗春. 東シナ海の水産資源と漁業形態. 日本水産学会誌 2011; 77(5):919-923
- 271 2) 永松公明. 2 階式トロールによる東シナ海底魚漁場の漁獲物組成と投棄対象生物の
- 272 混獲状況. 水産大学校研究報告. 2016; 54(4): 197-208.
- 273 3) 大下誠二. 東シナ海・黄海の漁業資源(総説). 水産庁水産研究・教育機構令和 3
- 274 年度国際漁業資源の現況 2022; 68: 1-7.
- 275 4) 山本圭介. 東シナ海・黄海における底生魚類の群衆構造の年変動. 日本水産学会誌
- 276 2015; **81**(3): 429-437.
- 277 5) 米田道夫. 底魚類の資源生物学的特性に関する研究. 日本水産学会誌 2006; 72(5):
- 278 823-826.
- 279 6) 堀川博史,山田梅芳. 東シナ海および黄海における底魚類の生物特性の変化. 月刊
- 280 海洋 1999; 31(10): 631-636.
- 281 7) 堀川博史,鄭 元甲,孟 田湘(編).東シナ海・黄海主要資源の生物・生態特性―日
- 282 中間の知見の比較. 西海区水産研究所,長崎. 2001; 165-202.
- 283 8) 日高正康. 半閉鎖的水域での底質環境に関する水産学的考察. 博士論文, 鹿児島大
- 284 学水産学部, 鹿児島, 2013
- 285 9) 石渡良志. 海底堆積物における有機物の特徴と挙動. 日本海水学会誌 2003; 57(3):

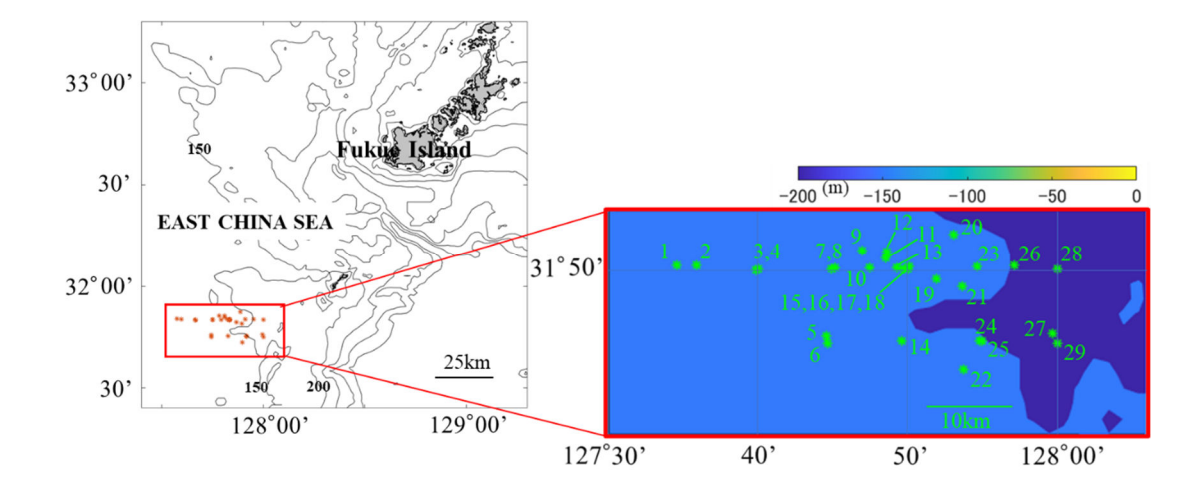
- 286 181-191.
- 287 10) 浜田七郎,満塩大洸. 東シナ海・黄海における堆積物の海底地質学的区分. 西海区
- 288 水産研究所研究報告 1987; 64: 25-34.
- 289 11) 浜田七郎. 東シナ海・黄海の大陸棚海底地形と表層堆積物の海洋地質学的研究 西
- 290 水研研報 1998; 76:27-94.
- 291 12) Simon F.Thrush, Judi E.Hewitt, Conrad A.Pilditch, Alf Norkko, Ecology of Coastal Marine
- 292 Sediments, Oxford University Press, 2021: 4
- 293 13) 久野彰大,川瀬颯,Herawaty RIOGILANG,矢野真一郎,田井明,多田彰秀,松山明人. 水
- 295 14) Wentworth, C.K. A scale of grade and class terms for clastic sediments. The journal of
- 296 geology 1922; **30**(5): 377-392
- 297 15) 環境省水・大気環境局:底質調査方法,東京.2012.
- 298 16) 桑原連. 浅海堆積物における強熱減量測定法の検討. 水産増殖 1987; 35(1):61-67.
- 299 17) 文部科学省科学技術・学術審議会資源調査分科会:日本食品標準成分表(八訂)増
- 300 補 2023 年, 東京. 2023.
- 301 18) 斎藤文紀, 楊作升. 東シナ海の堆積物収支 第 3 回環境地質学シンポジウム. 日本
- 302 地質学会環境地質研究委員会 1993; 123-128.

- 303 19) 小栗一将、松本英二、斎藤文紀、東シナ海における堆積速度について、名古屋大学
- 304 加速器質量分析計業績報告書, 1997; 8: 107-114.
- 305 20) 児玉真史, 皆川昌幸, 田中勝久, 石樋由香. 有明海における堆積速度について. 沿
- 306 岸海洋研究 2008; 45(2), 137-143.
- 307 21) 井澤博文. 底質のサンプリング. 水環境学会誌 1993; 16: 74-78.
- 308 22) 片山肇. 東シナ海における陸減堆積物の変化の収支と輸送過程. 地質ニュース
- 309 2007; **634**: 15-20.
- 310 23) 藤森雄一,福江正治,加藤義久,増渕和夫,笹島卓也. 炭酸カルシウム含量による
- 311 地盤形成過程の評価. 土木学会論文集 2007; 63(4): 1163-1174.
- 312 24) Broecker W.S, Peng T.H. Tracers in the sea. Lamont Doherty Geological Observatory,
- 313 Columbia university, palisades, New York 1982.
- 314 25) 谷村譲紀, 天野晴貴, 新家淳治, 国分秀樹, 竹之内健介, 小林利行, 千葉賢大, 八木
- 315 麻希. 伊勢湾底泥中における有機物の鉛直分布およびその特徴について. 三重保環研報
- 316 2016; **18**: 65-73.
- 317 26) 鎌田泰彦、西岡幸一、中牧直紀、秋元不二雄.男女群島周辺の海底地質. 長崎大学教
- 318 育学部自然科学研究報告 1975; **26**: 91-107.
- 319 27) 横山寿, 石樋由香. 底質の主成分分析による有明海奥部海域の区分. 日本水産学会

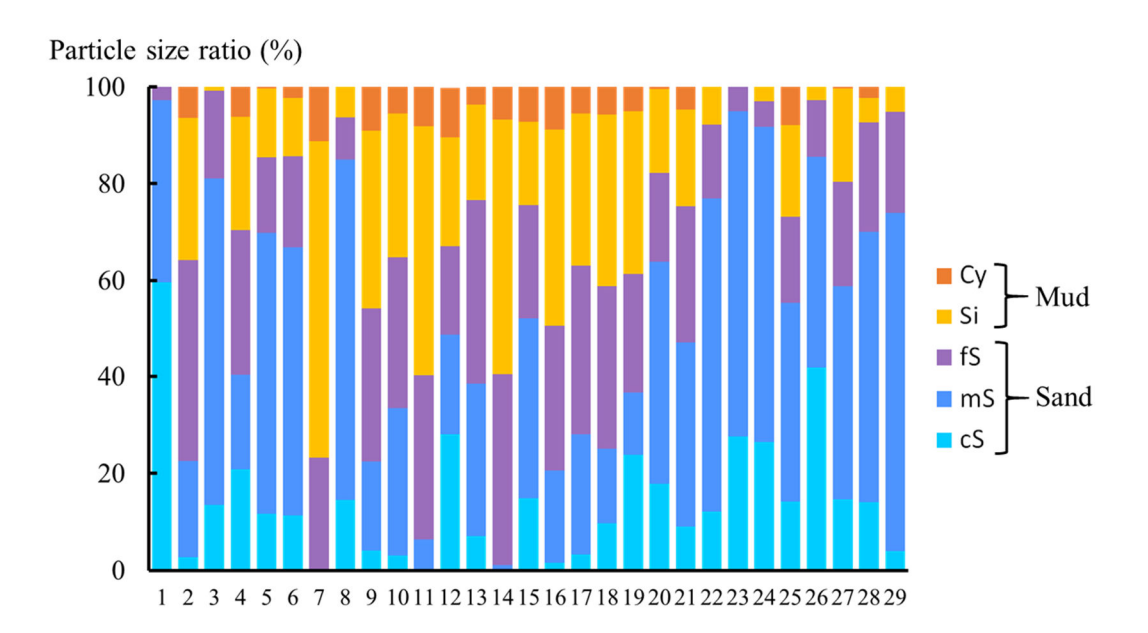
- 320 誌 2009; 75(4): 674-683.
- 321 28) 佐野茂. 砂浜浅海における生物生産IV.微細堆積物による藻類増殖の助長効果. 水
- 322 産増殖談話会 1976; 24(3): 80-82
- 323 29) 佐野茂. 砂浜浅海における生物生産III.海底堆積物中の有機含有量と底生微小生物
- 324 の密度. 水産増殖談話会 1976; 24(3): 77-79
- 325 30) 園田 吉弘. 有明海海域における水質・底質と底生生物の分布特性: 物理・化学及
- 326 び生態学的視点からの研究. 学位論文第 6 章. 熊本大学学術リポジトリ
- 327 https://kumadai.repo.nii.ac.jp/records/25287 (2025 年 3 月 31 日アクセス)
- 328 31) 鎌田泰彦, 近藤寛, 三井田恒博. 玄界灘の表層堆積物. 長崎大学教育学部自然科学
- 329 研究報告 1988; 39: 73-82

1				
2	Figure captions			
3				
4	Fig.1 Sampling station (Number in figure indicated Station No.)			
5	Fig.2 Particle size ratio (%) based on sediment classification			
6	Fig.3 Horizontal distribution of $Md\Phi$			
7	Fig.4 CaCO ₃ content ratio in each station (Ave.±SD)			
8	Fig.5 Horizontal distribution of CaCO ₃ ratio (%)			
9	Fig.6 Organic content ratio in each station (Ave.±SD)			
10	Fig.7 Horizontal distribution of organic ratio (%)			
11	Fig.8 Relationship between CaCo ₃ ratio (%) and organic ratio (%)			
12	Fig.9 Relationship between CaCo ₃ ratio (%) and mud content ratio (%)			
13	Fig.10 Relationship between organic ratio (%) and mud content ratio (%)			
14				
15				
16	Table 1 Location and depth of sampling station			
17	Table 2 Sediment classification based on the Japan Hydrographic Association			
18				
19				

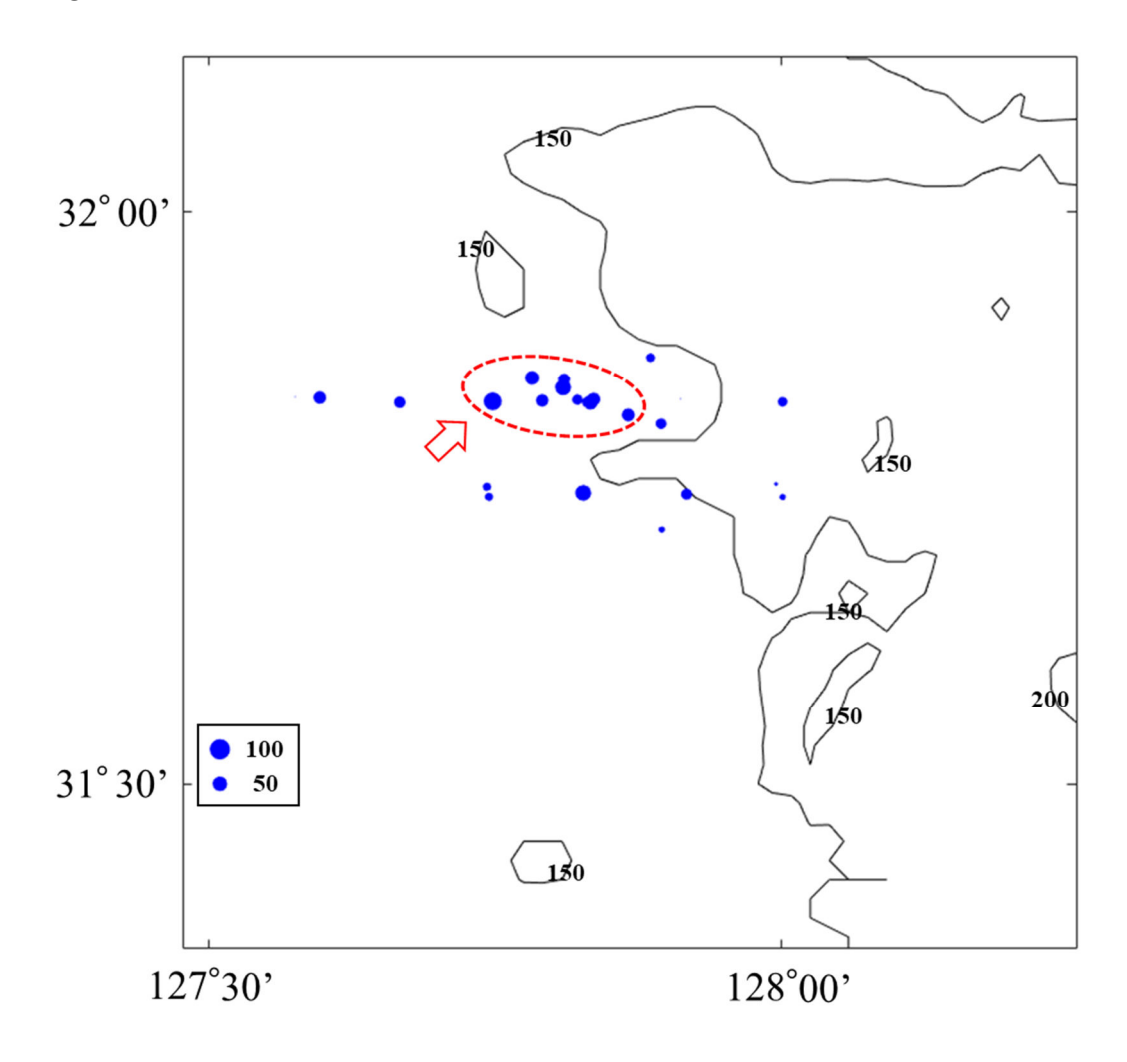
20 Fig.1



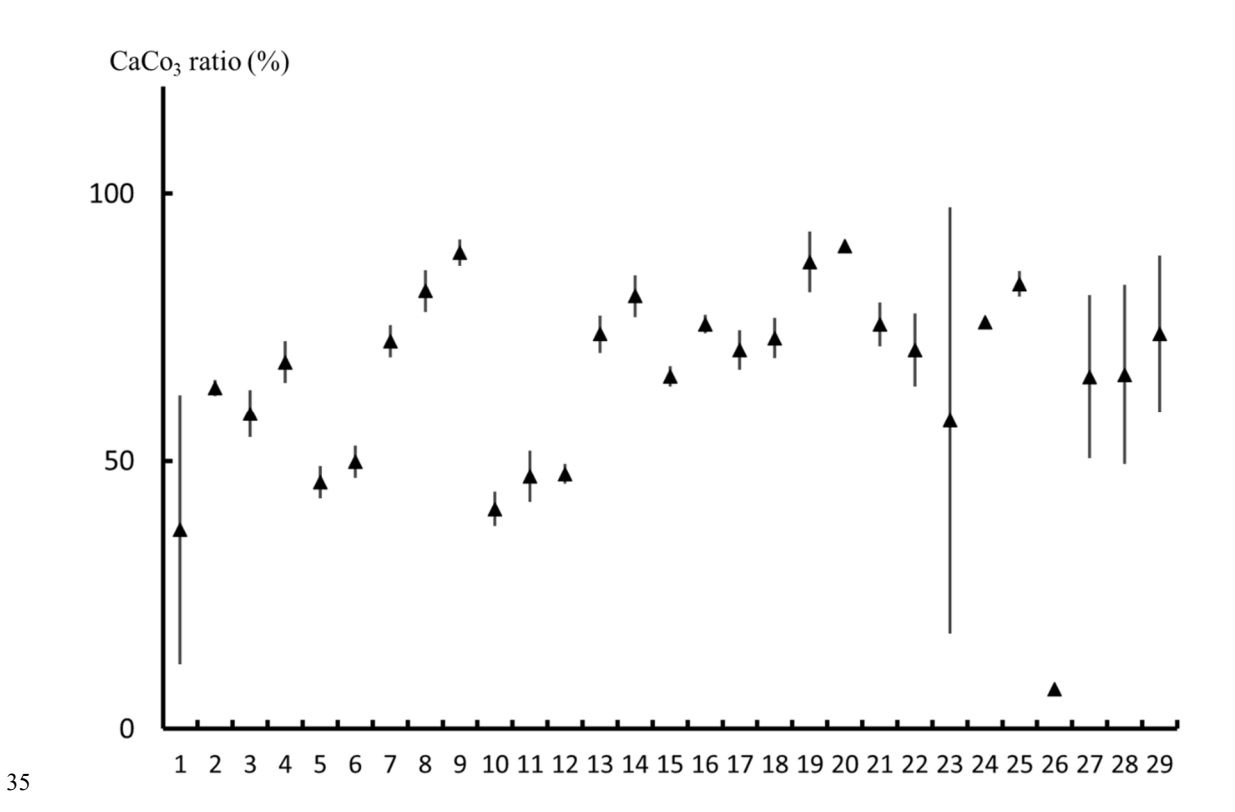
26 Fig.2



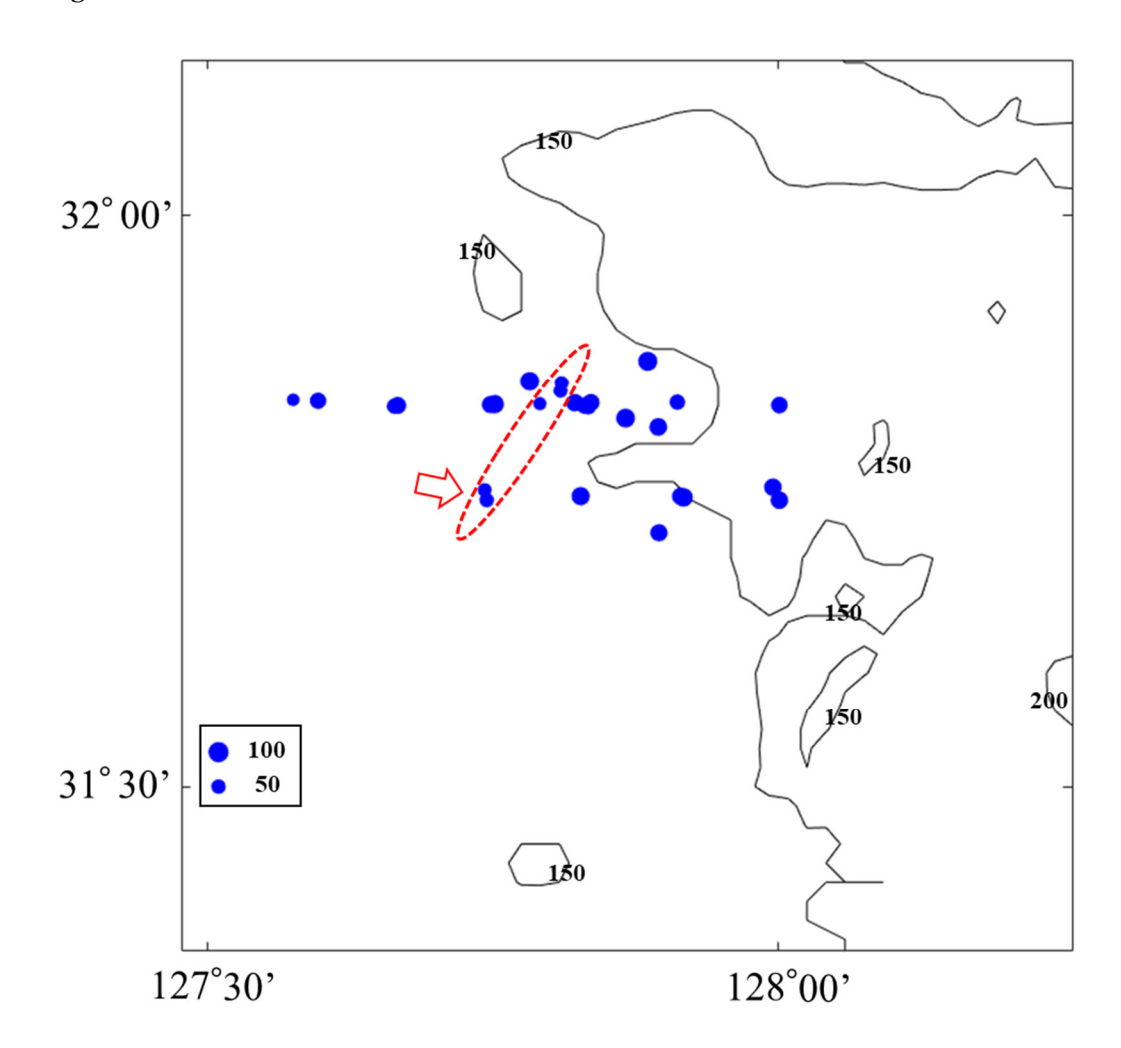
30 Fig.3



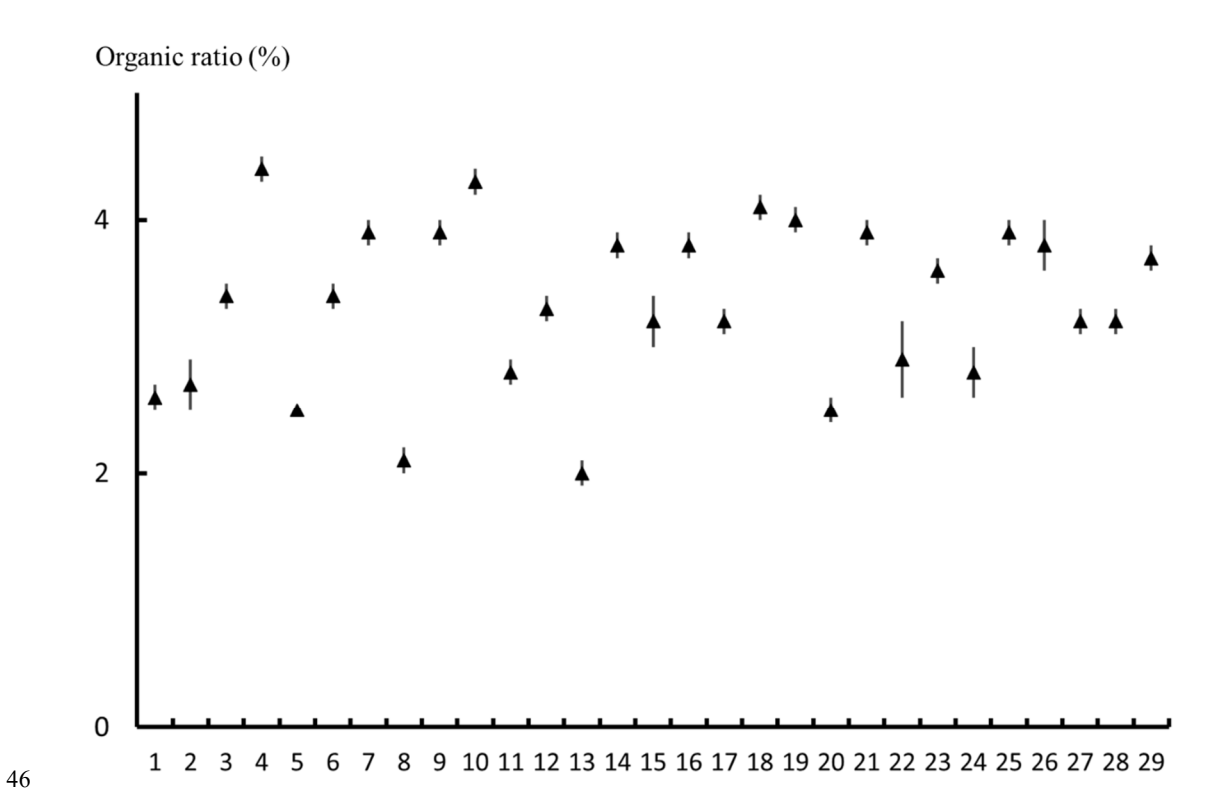
34 Fig.4



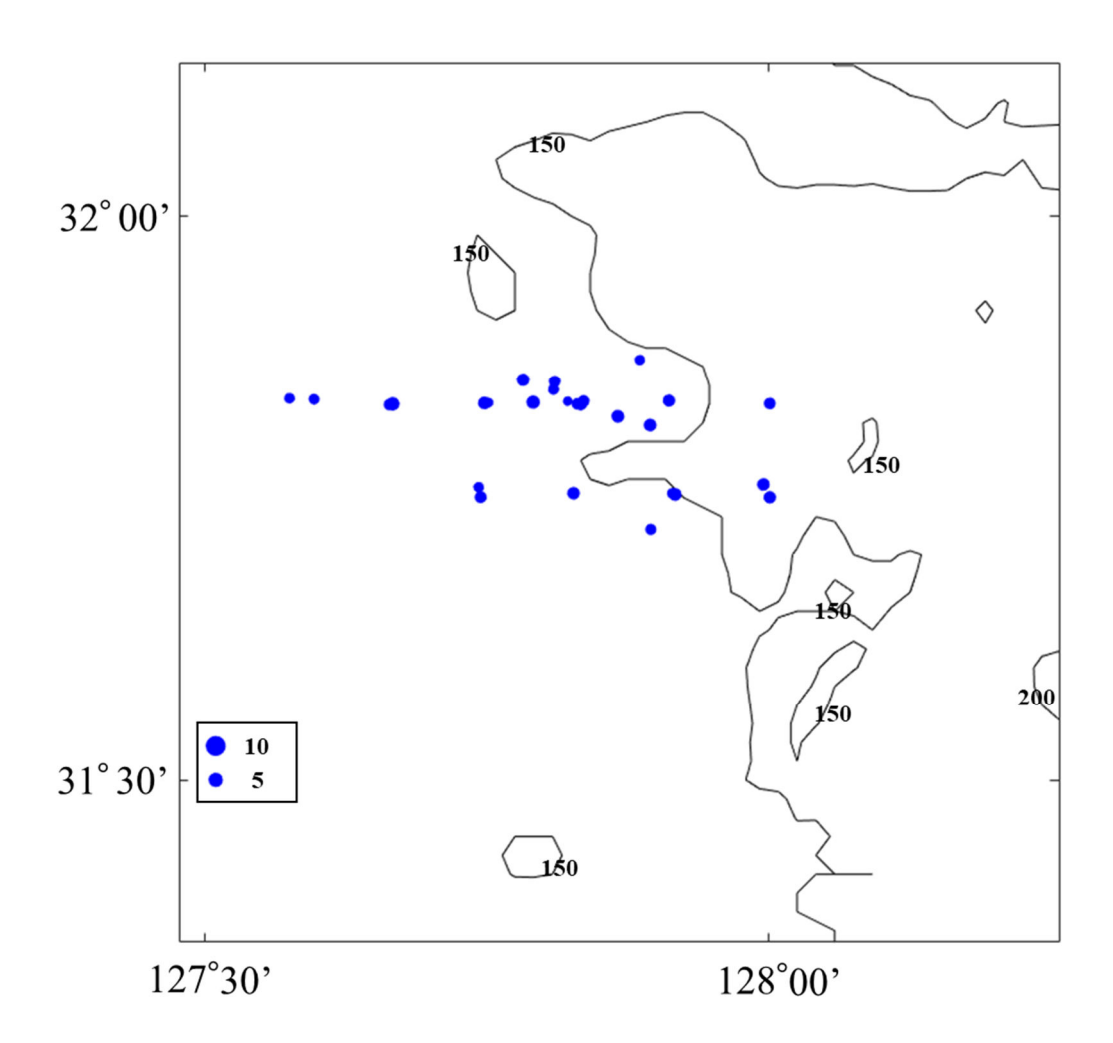
39 Fig.5



45 Fig.6

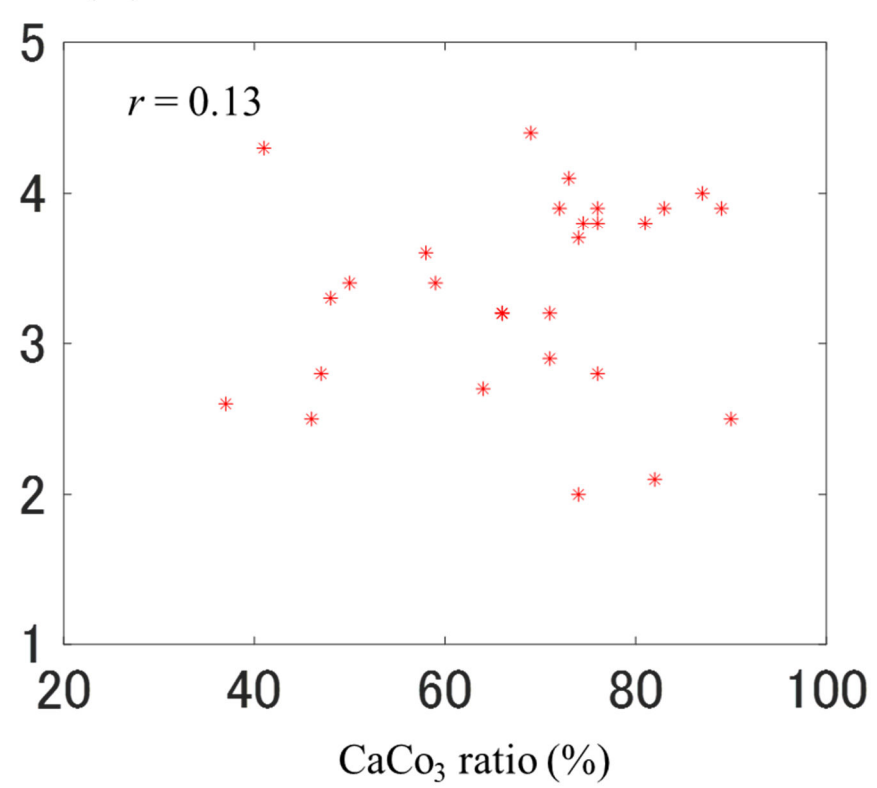


49 Fig.7

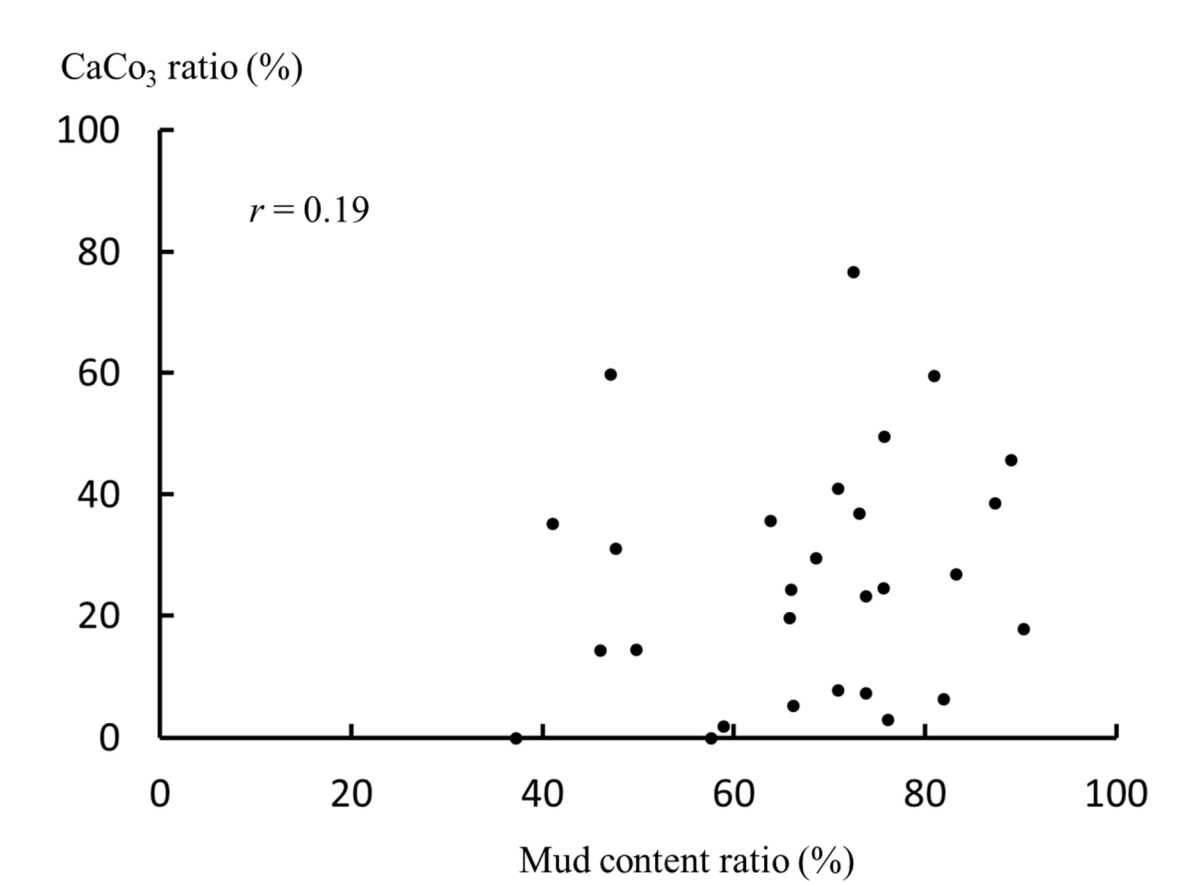


54 Fig.8

Organic ratio (%)



59 Fig.9



64 Fig.10

Organic ratio (%)

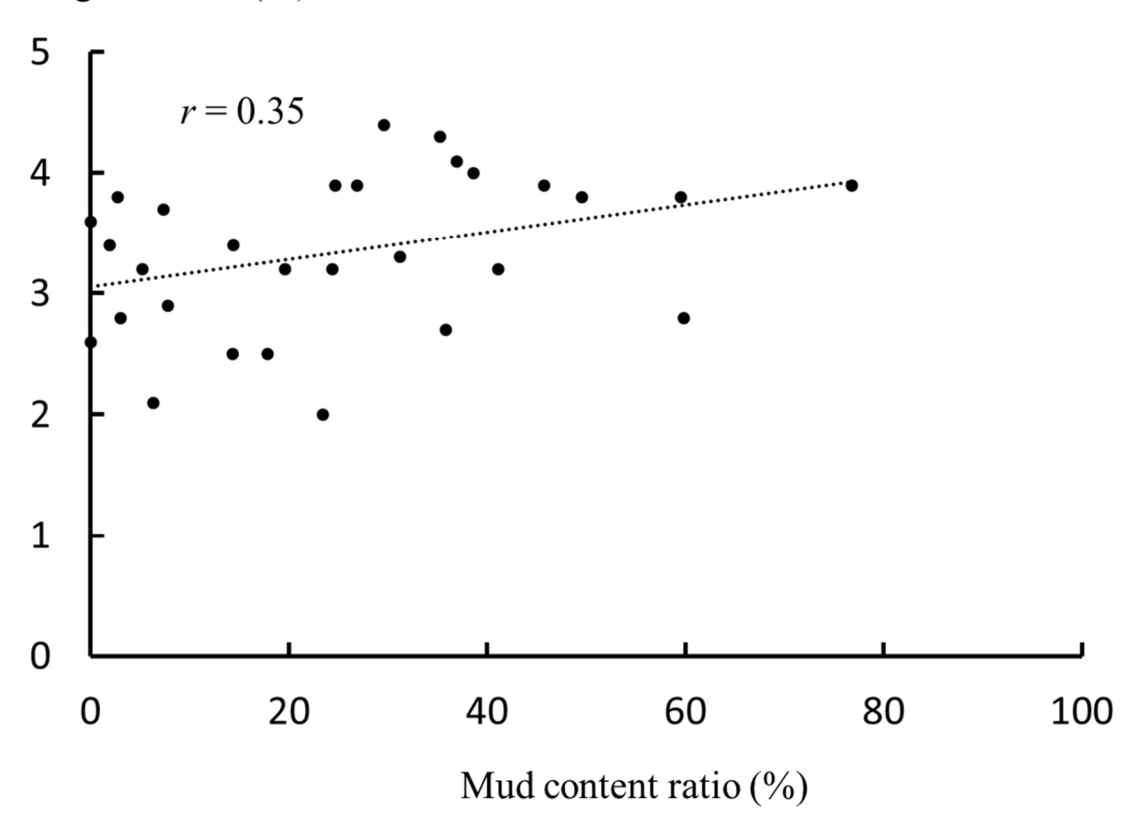


Table 1

St. Latitude Longitud		Longitude	e Depth(m)	
St.1	31.50.298'N	127.34.527'E	139	
St.2	31.50.249'N	127.35.505'E	130	
St.3	31.49.972'N	127.39.847'E	141	
St.4	31.50.003'N	127.40.011'E	139	
St.5	31.45.575'N	127.44.576'E	142	
St.6	31.45.048'N	127.44.684'E	143	
St.7	31.50.038'N	127.44.878'E	145	
St.8	31.50.212'N	127.45.163'E	144	
St.9	31.51.294'N	127.46.942'E	142	
St.10	31.50.095'N	127.47.969'E	145	
St.11	31.50.779'N	127.48.559'E	144	
St.12	31.51.208'N	127.48.615'E	147	
St.13	31.50.143'N	127.49.731'E	146	
St.14	31.45.256'N	127.49.616'E	144	
St.15	31.50.006'N	127.49.821'E	143	
St.16	31.49.994'N	127.49.992'E	143	
St.17	31.50.154'N	127.49.930'E	146	
St.18	31.50.000'N	127.50.000'E	147	
St.19	31.49.340'N	127.51.969'E	143	
St.20	31.52.350'N	127.53.140'E	148	
St.21	31.48.880'N	127.53.688'E	143	
St.22	31.43.371'N	127.53.726'E	142	
St.23	31.50.183'N	127.54.698'E	146	
St.24	31.45.2507N	127.54.873'E	146	
St.25	31.45.188'N	127.55.024'E	150	
St.26	31.50.271'N	127.57.166'E	151	
St.27	31.45.721'N	127.59.711'E	156	
St.28	31.45.036'N	128.00.048'E	152	
St.29	31.50.314'N	128.00.277'E	157	

71 Table 2

Name	Symbol		Size (µm)	Md⊅
Clay	M	Су	under 3.0	Over 8
Silt	IVI	Si	3.0 – under 62.5	4
Very fine sand		fS	62.5 – under 250	2
Medium sand	S	mS	250 –under 500	1
Coarse sand		cS	500 – under 2000	-1